

УДК 620.170.5; 539.4

## НАПРЯЖЕННО-ДЕФОРМИРОВАННОЕ СОСТОЯНИЕ И КОЭФФИЦИЕНТ ИНТЕНСИВНОСТИ НАПРЯЖЕНИЙ В ОКРЕСТНОСТИ ТРЕЩИНОПОДОБНЫХ ДЕФЕКТОВ ПРИ ДВУХОСНОМ РАСТЯЖЕНИИ ПЛАСТИНЫ

А. А. Остсемин, П. Б. Уткин\*

Российская академия народного хозяйства  
и государственной службы при Президенте РФ, 454077 Челябинск, Россия

\* Южно-Уральский государственный университет, 454080 Челябинск, Россия  
E-mails: ostsemin@math.susu.ac.ru, neobart@inbox.ru

Рассматривается задача определения напряженно-деформированного состояния, описываемого сингулярными и регулярными членами, и коэффициента интенсивности напряжений в окрестности вершины трещиноподобного дефекта в пластине при двухосном нагружении. Методом Колосова — Мухелишвили получены выражения для тензора напряжений вблизи вершины эллипса, из которых следуют формулы для напряжений в случае затупленных трещин. Определены максимальное касательное напряжение, главные напряжения и интенсивность напряжений. Получены формулы для коэффициента интенсивности напряжений при двухосном нагружении пластины с трещиноподобным дефектом, которые могут быть использованы в методе голографической интерферометрии.

**Ключевые слова:** механика разрушения, коэффициенты интенсивности напряжений, напряженное состояние, метод Колосова — Мухелишвили, пластина с эллиптическим отверстием, метод голографической интерферометрии.

**Введение.** Одной из причин потери работоспособности магистральных газонефтепроводов, резервуаров, сосудов давления, торовых оболочек и ряда других конструкций является их разрушение вследствие наличия трещиноподобных дефектов, возникающих в процессе сварки и монтажа (царапины, риски, задиры, раковины), а также при эксплуатации (питтинги, коррозионно-механические трещины) за счет коррозии металла. В отличие от трещин рассматриваемые концентраторы напряжений, такие как сварочные дефекты и коррозионные затупленные трещины, даже наиболее острые, имеют малый, но конечный радиус кривизны  $\rho$  [1].

Методы механики разрушения позволяют определять сопротивляемость металлов разрушению при наличии в них трещин. Однако особенность сварных соединений состоит в том, что в них даже при отсутствии трещин имеются концентраторы напряжений с достаточно малыми радиусами кривизны, которые могут представлять опасность при эксплуатации конструкций. Использование критериев механики разрушения, разработанных для оценки опасности возникновения трещин, в случае концентраторов (непровары, несплавления, шлаковые включения), типичных для сварных соединений, некорректно.

Трещиноподобные дефекты, имеющие закругленные вершины, нельзя трактовать как острые трещины, поэтому при их исследовании неприменимы критерии теории трещин [2]. Наличие больших градиентов деформаций и напряжений в окрестности таких концентраторов не позволяет использовать классические критерии прочности. Теория расчета таких дефектов, занимающая промежуточное положение между теорией трещин и теорией прочности тел с конструктивными концентраторами напряжений, разработана недостаточно полно [2]. В данной работе предложена математическая модель напряженно-деформированного состояния вблизи вершины эллиптического дефекта в пластине при двухосном нагружении, в которой учитывается радиус  $\rho$  кривизны в вершине дефекта.

Технологические дефекты (подрезы, раковины, надрезы, поры, непровары, несплавления, трещины) ухудшают сопротивляемость конструкции хрупкому разрушению. Радиус  $\rho$  в вершине непровара может изменяться в широком диапазоне:  $\rho = 0,01 \div 0,10$  мм. В данном случае использование известных критериев линейной механики разрушения без учета поправок на геометрию трещиноподобных дефектов и радиус кривизны  $\rho$  приведет к большим погрешностям [2].

В работе [3] приведено решение задачи теории упругости для трещины в пластине при одноосном растяжении, однако анализ напряжений проведен только для сингулярного члена.

В [4] отмечено, что при решении задачи определения компонент тензоров напряжений и деформаций в случае двухосного нагружения пластины с центральной трещиной необходимо учитывать второй член в разложении компонент в ряд.

С использованием решения задачи о распределении напряжений вокруг вершины надреза и теории линий скольжения разработана модель зарождения разрушения [5] на расстоянии  $r_c$  от вершины при напряжении  $\sigma_c$ , с помощью которой выведена формула для коэффициента интенсивности напряжений (КИН), пропорционального  $\sqrt{\rho}$ .

В [6] методом Колосова — Мухелишвили получены приближенные формулы для напряженно-деформированного состояния и КИН вблизи вершины эллиптического дефекта при двухосном нагружении пластины [7, 8].

Целями данной работы являются приближенное вычисление напряженного состояния пластины вблизи вершины трещиноподобного дефекта с радиусом кривизны  $\rho$  при двухосном нагружении и экспериментальное определение напряженно-деформированного состояния методом голографической интерферометрии.

**1. Напряжения и перемещения в случае трещиноподобного дефекта первого типа при двухосном нагружении пластины.** Рассматривается трещиноподобный технологический дефект в виде сквозного эллиптического отверстия при двухосном нагружении пластины из изотропного материала.

Пусть бесконечная пластина с отверстием в форме эллипса с полуосями длиной  $a$ ,  $b$  нагружена напряжениями  $\sigma$  и  $\varepsilon\sigma$  вдоль осей исходной системы координат. На рис. 1 приведена схема данной задачи ( $\varepsilon$  — параметр двухосного нагружения, т. е. отношение напряжений, действующих в горизонтальном и вертикальном направлениях). Радиус кривизны эллиптического отверстия в его вершине обозначим через  $\rho = b^2/a$ . Переменные  $r$ ,  $\theta$  являются координатами полярной системы координат с центром в фокусе эллипса (см. рис. 1).

Значения  $R$ ,  $m$  и фокусное расстояние  $d$  являются параметрами эллипса и связаны с длинами его полуосей  $a$ ,  $b$  соотношениями

$$\begin{aligned} R &= (a + b)/2, & m &= (a - b)/(a + b), & a &= R(1 + m), & b &= R(1 - m), \\ d^2 &= a^2 - b^2, & -1 < m < 1, & & d^2 &= 4ma^2/(1 + m)^2 = 4mR^2. \end{aligned} \quad (1.1)$$

Расстояние от вершины трещины до фокуса эллипса равно  $a - d$  и при  $m \approx 1$  приближенно равно  $\rho/2$ . Для того чтобы уточнить соотношение между этими величинами, вы-

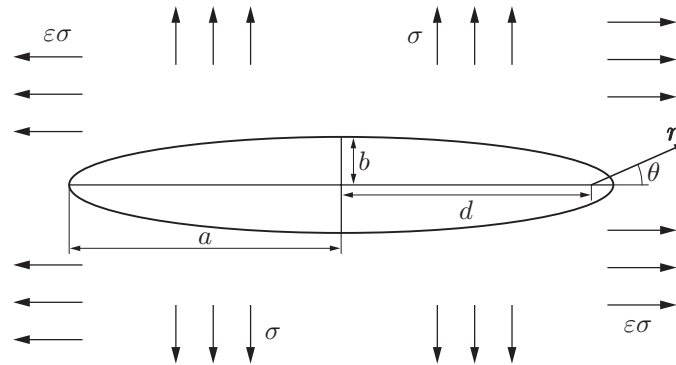


Рис. 1. Схема задачи об эллиптическом дефекте в пластине, подвергнутой двухосному нагружению

разим отношение  $\rho/(2(a-d))$  через параметр эллипса  $m$ . С использованием формул (1.1) получаем

$$\frac{\rho}{2(a-d)} = \frac{(1 + \sqrt{m})^2}{2(1+m)}. \quad (1.2)$$

С помощью соотношений (1.1), (1.2) определим компоненты тензора напряжений с регулярными членами вблизи сквозного эллиптического дефекта в пластине при двухосном растяжении:

$$\begin{aligned} \sigma_x \approx & -\frac{DK_I}{\sqrt{2\pi r}} \frac{\rho}{2r} \cos\left(\frac{3\theta}{2}\right) + \frac{A_1 K_I}{4\sqrt{2\pi r}} - \\ & - \sigma \left[ \left(\frac{2r}{\rho}\right)^{-1/2} D^{3/2} (1+\varepsilon) \cos\left(\frac{\theta}{2}\right) - (1-\varepsilon) \frac{D^2}{m} \right]; \end{aligned} \quad (1.3)$$

$$\begin{aligned} \sigma_y \approx & \frac{DK_I}{\sqrt{2\pi r}} \frac{\rho}{2r} \cos\left(\frac{3\theta}{2}\right) + \frac{B_1 K_I}{4\sqrt{2\pi r}} + \\ & + \sigma \left[ \left(\frac{2r}{\rho}\right)^{-1/2} D^{3/2} (1+\varepsilon) \cos\left(\frac{\theta}{2}\right) + (1-\varepsilon) \frac{D^2 - 1}{m} \right]; \end{aligned} \quad (1.4)$$

$$\tau_{xy} \approx -\frac{DK_I}{\sqrt{2\pi r}} \frac{\rho}{2r} \sin\left(\frac{3\theta}{2}\right) + \frac{C_1 K_I}{4\sqrt{2\pi r}} - \sigma \left(\frac{2r}{\rho}\right)^{-1/2} D^{3/2} (1+\varepsilon) \sin\left(\frac{\theta}{2}\right). \quad (1.5)$$

Здесь

$$A_1 = \cos(5\theta/2) + (4 - 2A) \cos(\theta/2), \quad B_1 = -\cos(5\theta/2) + (2A + 4) \cos(\theta/2),$$

$$C_1 = \sin(5\theta/2) - 2A \sin(\theta/2),$$

$$D = (1+m)/(2\sqrt{m}), \quad A = (17m^2 + 6m - 15)/(16m), \quad r = |\mathbf{r}|.$$

В случае вырождения эллипса в трещину ( $m = 1$ ) первые два сингулярных члена в выражениях (1.3)–(1.5) соответствуют известным формулам [1].

Коэффициент интенсивности напряжений равен [7]

$$K_I = \sqrt[4]{\frac{4m}{(1+m)^2}} \sqrt{\pi a} \frac{\sigma(m(1+\varepsilon) + (1-\varepsilon))}{2m}, \quad m = \frac{1 - \sqrt{\rho/a}}{1 + \sqrt{\rho/a}}. \quad (1.6)$$

Из формул (1.3)–(1.5) следует, что компоненты тензора напряжений зависят от параметра двухосного нагружения пластины  $\varepsilon$  и номинального растягивающего напряжения  $\sigma$ .

Первые два члена (сингулярная часть) в формуле (1.4) представляют собой распределение напряжений  $\sigma_y$  вблизи вершины дефекта. Из формулы (1.4) следует, что по мере приближения к вершине дефекта два сингулярных члена возрастают и начинают оказывать основное влияние на напряженно-деформированное состояние. При  $r \rightarrow 0$  влияние остальных членов уменьшается, при этом интенсивность поля напряжений в окрестности вершины дефекта зависит только от величины КИН.

Отличие выражений (1.3)–(1.5) для компонент тензора напряжений  $\sigma_x, \sigma_y, \tau_{xy}$  от формул, приведенных в [1], заключается в наличии регулярных членов и сингулярного члена, содержащего величину  $r^{-3/2}$ . В случае трещины ( $m = 1, D = 1$ ) выражения (1.3)–(1.5) соответствуют выражениям для компонент напряжений в [4, 7]. При параметре эллипса  $0,9 \leq m \leq 1,0$  на расстоянии от вершины трещины, равном нескольким десяткам радиусов кривизны  $\rho$ , значение первого главного напряжения, вычисленное по формулам (1.3)–(1.5), отличается от значения, полученного по формулам работы [1], не более чем на 6 %.

С учетом соотношений (1.3), (1.4) выражения для суммы нормальных напряжений  $\sigma_x + \sigma_y$  в случае центрального эллиптического выреза при двухосном нагружении пластины можно записать в следующем виде:

$$\sigma_x + \sigma_y = 2 \frac{K_I}{\sqrt{2\pi r}} \cos \frac{\theta}{2} - \frac{\sigma(1 - \varepsilon)}{m}.$$

Выражение для разности нормальных напряжений  $\sigma_y - \sigma_x$  имеет вид

$$\begin{aligned} \sigma_y - \sigma_x = & \frac{DK_I}{\sqrt{2\pi r}} \frac{\rho}{r} \cos \left( \frac{3\theta}{2} \right) - \frac{(A_1 - B_1)K_I}{4\sqrt{2\pi r}} + \\ & + \sigma \left[ \left( \frac{2r}{\rho} \right)^{-1/2} D^{3/2} (1 + \varepsilon) \cos \left( \frac{\theta}{2} \right) + (1 - \varepsilon)H \right]. \end{aligned} \quad (1.7)$$

Здесь  $H = (1 + m^2)/(2m^2)$ . В случае линейной трещины при  $\rho = 0, m = 1, \theta = 0$  формула (1.7) принимает вид [4, 5, 9]  $\sigma_y - \sigma_x = \sigma(1 - \varepsilon) = T$ .

В рассматриваемой задаче перемещения вычисляются по формулам

$$\begin{aligned} u \approx & \frac{1}{2\mu} \left[ \frac{K_I}{4} \sqrt{\frac{\rho}{2\pi}} \left( \frac{r}{\rho} \right)^{-1/2} \cos \left( \frac{\theta}{2} \right) + \frac{\sqrt{r}}{\sqrt{2\pi}} D_1 K_I - \right. \\ & \left. - \sigma \rho \left( \frac{r}{\rho} \right)^{1/2} (1 + \varepsilon) \cos \left( \frac{\theta}{2} \right) - \frac{\sigma r (1 - \varepsilon)}{4} (1 + \varkappa) \cos \theta - \frac{aT}{4} (1 + \varkappa) \right], \\ v \approx & \frac{1}{2\mu} \left[ \frac{K_I}{4} \sqrt{\frac{\rho}{2\pi}} \left( \frac{r}{\rho} \right)^{-1/2} \sin \frac{\theta}{2} + \frac{\sqrt{r}}{\sqrt{2\pi}} E_1 K_I - \right. \\ & \left. - \sigma \rho \left( \frac{r}{\rho} \right)^{1/2} (1 + \varepsilon) \sin \frac{\theta}{2} + \frac{rT}{4} (3 - \varkappa) \sin \theta \right], \end{aligned} \quad (1.8)$$

где  $D_1 = \cos(\theta/2)(\varkappa - 1 + 2 \sin^2(\theta/2))$ ;  $E_1 = \sin(\theta/2)(\varkappa + 1 - 2 \cos^2(\theta/2))$ .

При  $\rho = 0$  из (1.8) следуют известные формулы, приведенные в [4].

**2. Главные напряжения в случае трещиноподобного дефекта при двухосном нагружении пластины.** С учетом соотношений (1.3)–(1.6) главные напряжения могут быть вычислены по формуле

$$\sigma_{1,2} = \frac{K_I}{\sqrt{2\pi r}} \cos \left( \frac{\theta}{2} \right) - \frac{\sigma(1 - \varepsilon)}{2m} \pm \sqrt{\left( \frac{K_I}{\sqrt{2\pi r}} \right)^2 F_1 + \frac{2\sigma K_I}{\sqrt{2\pi r}} F_2 + \sigma^2 F_3}, \quad (2.1)$$

где

$$F_1 = D^2 \left( \frac{\rho}{2r} \right)^2 + D \cos \theta \left( A - \frac{1}{2} \right) \frac{\rho}{2r} + \frac{1}{16} (1 - 4A \cos 2\theta + 4A^2),$$

$$\begin{aligned}
F_2 &= D^{5/2} \left( \frac{\rho}{2r} \right)^{3/2} (1 + \varepsilon) \cos \theta + D \frac{\rho}{2r} (1 - \varepsilon) \cos \left( \frac{3\theta}{2} \right) \frac{H}{2} + \\
&\quad + D^{3/2} \left( \frac{\rho}{2r} \right)^{1/2} \frac{1 + \varepsilon}{4} (2A - \cos 2\theta) + \frac{(1 - \varepsilon)H}{8} \left( 2A \cos \left( \frac{\theta}{2} \right) - \cos \left( \frac{5\theta}{2} \right) \right), \\
F_3 &= (1 + \varepsilon)^2 D^3 \frac{\rho}{2r} + 2(1 - \varepsilon^2) D^{3/2} \left( \frac{\rho}{2r} \right)^{1/2} \frac{H}{2} \cos \left( \frac{\theta}{2} \right) + (1 - \varepsilon)^2 \left( \frac{H}{2} \right)^2.
\end{aligned}$$

Распределение главных напряжений  $\sigma_1, \sigma_2$ , вычисленных по формуле (2.1) в случае одноосного растяжения пластины при  $\varepsilon = 0, \rho = 0,01$ , соответствует результатам, полученным в [3]. Представляет интерес исследование зависимостей главных напряжений  $\sigma_1, \sigma_2$  от полярного угла  $\theta$  с использованием формулы (2.1). В случае одноосного ( $\varepsilon = 0$ ) растяжения пластины главное напряжение  $\sigma_1$  достигает наибольшего значения при  $\theta = 60^\circ$  и значениях радиуса кривизны надреза в диапазоне  $\rho/a = 0,01 \div 0,10$ . В случае трещины максимум величины  $\sigma_1$  также достигается при  $\theta = 60^\circ$  [3].

Интенсивность напряжений  $\sigma_i$ , вычисленная согласно критерию пластичности Мизеса, в случае плоского напряженного состояния в пластине с центральным эллиптическим вырезом с учетом формул (1.3)–(1.5) равна

$$\begin{aligned}
\sigma_i^2 &= \left( \frac{K_I}{\sqrt{2\pi r}} \right)^2 \left( \cos^2 \left( \frac{\theta}{2} \right) + 3F_1 \right) + \frac{2\sigma K_I}{\sqrt{2\pi r}} \left[ - \frac{1 - \varepsilon}{2m} \left( \cos \left( \frac{\theta}{2} \right) + \right. \right. \\
&\quad + 3 \frac{1 + m^2}{4m} \left( \frac{1}{2} \cos \left( \frac{5\theta}{2} \right) - A \cos \left( \frac{\theta}{2} \right) \right) \left. \left. - \frac{3(1 + \varepsilon)}{4} D^{1/2} \left( \frac{\rho}{2r} \right)^{1/2} (\cos 2\theta - 2A) + \right. \right. \\
&\quad + \left. \frac{3(1 - \varepsilon)}{4m^2} D \frac{\rho}{2r} \cos \left( \frac{3\theta}{2} \right) + 3(1 + \varepsilon) D^{5/2} \left( \frac{\rho}{2r} \right)^{3/2} \cos \theta \right] + \\
&\quad + \sigma^2 \left[ \left( \frac{1 - \varepsilon}{m} \right)^2 + 3(1 - \varepsilon)^2 \left( \frac{1 - m^2}{4m^2} \right)^2 + 3(1 + \varepsilon)^2 D^3 \frac{\rho}{2r} + \right. \\
&\quad \left. + 3(1 - \varepsilon^2) D^{3/2} \left( \frac{\rho}{2r} \right)^{1/2} \cos \left( \frac{\theta}{2} \right) H \right]. \quad (2.2)
\end{aligned}$$

При  $\sigma_i = \sigma_T$  ( $\sigma_T$  — предел текучести) с использованием формулы (2.2) можно определить размер пластической зоны в надрезе аналогично тому, как это сделано в [5].

Для построения линий постоянного уровня интенсивности напряжений  $\sigma_i$  при двухосном нагружении пластины необходимо использовать численные методы, поскольку в выражении (2.2) величина  $\sqrt{r}$  имеет шестую степень. На рис. 2 показан радиус пластической зоны в случае растяжения пластины с эллиптическим вырезом при  $\sigma = 0,3\sigma_T, \varepsilon = 0,5$ . Уменьшение параметра двухосного нагружения пластины  $\varepsilon = 0,5$  до значения  $\varepsilon = 0$  приводит к значительному увеличению площади пластической зоны. С увеличением номинального напряжения  $\sigma_H$  в случае одноосного растяжения ( $\varepsilon = 0$ ) площадь пластической зоны увеличивается быстрее, чем в случае двухосного нагружения ( $\varepsilon = 0,5$ ).

Ранее при оценке радиуса пластической зоны в вершине дефекта использовались формулы для напряжений в окрестности трещины. Полученные приближенные формулы совместно с критерием Мизеса позволяют оценить размеры пластических зон вблизи вершины дефекта с эллиптическим контуром. Радиусы пластической зоны, вычисленные по формулам для трещины и эллипса с параметром  $m = 0,9$ , в разных направлениях имеют различные значения. В случае центрального эллиптического дефекта различие радиусов составляет от 7 до 20 %, причем наименьшее различие имеет место на оси дефекта.

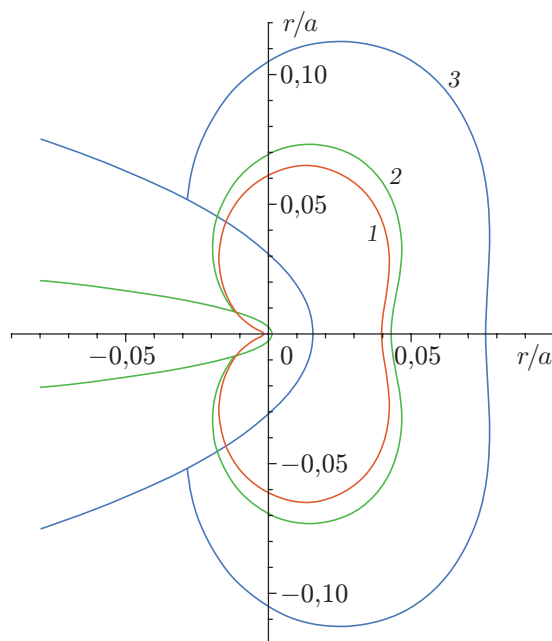


Рис. 2. Формы пластической зоны при различных значениях параметра эллипса: 1 —  $m = 1$ , 2 —  $m = 0,9$ , 3 —  $m = 0,7$

**3. Максимальное касательное напряжение в случае трещиноподобного дефекта при двухосном нагружении пластины.** С использованием выражений (1.3)–(1.7) запишем формулу для максимального касательного напряжения  $\tau_{\max}$  вблизи вершины эллиптического дефекта:

$$\tau_{\max}^2 = \left( \frac{K_I}{\sqrt{2\pi r}} \right)^2 F_1 + \frac{\sigma K_I}{\sqrt{2\pi r}} F_2 + \sigma^2 F_3. \quad (3.1)$$

Из соотношения (3.1) следует, что положение линий уровня  $\tau_{\max}$  зависит от коэффициента двухосного нагружения  $\varepsilon$ , радиуса кривизны надреза  $\rho$  и напряжения  $\sigma$ .

В случае прямолинейной трещины ( $m = 1$ ) формула (3.1) для  $\tau_{\max}$  соответствует теоретическим результатам [4] и используется при определении  $K_I$  по картинам изохром методом фотоупругости.

На рис. 3 показана зависимость от параметра эллипса  $m$  отношения максимального касательного напряжения для пластины с эллиптическим вырезом при  $\theta = 0$  к максимальному касательному напряжению для трещины при одной и той же длине дефекта (длина трещины равна длине большой оси эллипса:  $2l = 2a$ ) на расстоянии от вершины, равном  $0,07a$ .

**4. Компоненты тензора напряжений в полярных координатах для дефекта первого типа при двухосном нагружении пластины.** Компоненты тензора напряжений в полярных координатах найдем путем преобразования выражений (1.3)–(1.5) для напряжений  $\sigma_x, \sigma_y, \tau_{xy}$ . После ряда преобразований запишем в полярных координатах выражения для компонент тензора напряжений с регулярными членами в случае эллиптического дефекта в зависимости от радиуса кривизны надреза  $\rho$  и параметра двухосного нагружения пластины  $\varepsilon$ :

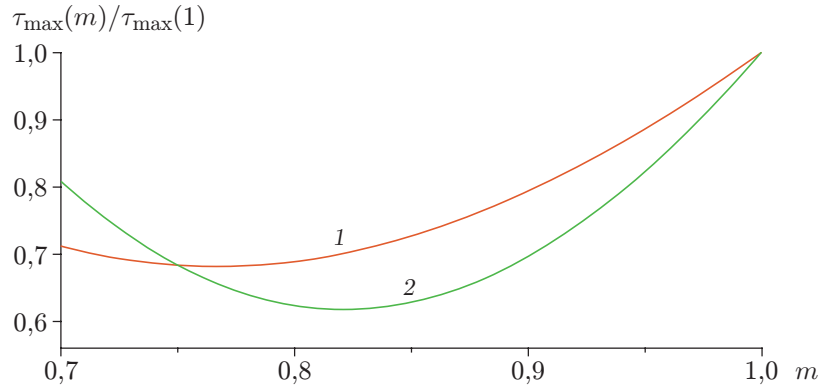


Рис. 3. Зависимость отношения максимальных касательных напряжений от параметра эллипса  $m$ :  
1 —  $\varepsilon = 0$ , 2 —  $\varepsilon = 0,5$

$$\begin{aligned} \sigma_r \approx & -\frac{DK_I}{\sqrt{2\pi r}} \frac{\rho}{2r} \cos\left(\frac{\theta}{2}\right) + \frac{K_I}{4\sqrt{2\pi r}} \left(5 \cos\left(\frac{\theta}{2}\right) - \frac{17m^2 + 6m - 15}{8m} \cos\left(\frac{3\theta}{2}\right)\right) - \\ & - \left(\frac{2r}{\rho}\right)^{-1/2} D^{3/2} \sigma(1 + \varepsilon) \cos\left(\frac{3\theta}{2}\right) - T \left( \left(\frac{1+m}{2m}\right)^2 \cos^2 \theta - \left(\frac{1-m}{2m}\right)^2 \sin^2 \theta \right); \quad (4.1) \\ \sigma_\theta \approx & \frac{DK_I}{\sqrt{2\pi r}} \frac{\rho}{2r} \cos\left(\frac{\theta}{2}\right) + \frac{K_I}{4\sqrt{2\pi r}} \left(3 \cos\left(\frac{\theta}{2}\right) + \frac{17m^2 + 6m - 15}{8m} \cos\left(\frac{3\theta}{2}\right)\right) + \\ & + \left(\frac{2r}{\rho}\right)^{-1/2} D^{3/2} \sigma(1 + \varepsilon) \cos\left(\frac{3\theta}{2}\right) - T \left( \left(\frac{1+m}{2m}\right)^2 \sin^2 \theta - \left(\frac{1-m}{2m}\right)^2 \cos^2 \theta \right), \\ \tau_{r\theta} \approx & \frac{DK_I}{\sqrt{2\pi r}} \frac{\rho}{2r} \sin\left(\frac{\theta}{2}\right) + \frac{K_I}{4\sqrt{2\pi r}} \left( \sin\left(\frac{\theta}{2}\right) + \frac{17m^2 + 6m - 15}{8m} \sin\left(\frac{3\theta}{2}\right) \right) - \\ & - \left(\frac{2r}{\rho}\right)^{-1/2} D^{3/2} \sigma(1 + \varepsilon) \sin\left(\frac{3\theta}{2}\right) + TH \sin 2\theta. \end{aligned}$$

**5. Деформированное состояние в вершине трещиноподобного надреза в пластине при двухосном нагружении.** Упругие деформации в зоне надреза определяются с использованием формул (1.3), (1.4) для случая плосконапряженного состояния ( $\sigma_z = 0$ ) на основе закона Гука:

$$\begin{aligned} \varepsilon_x = & \frac{1}{E} \left( -\frac{K_I D(1 + \mu)}{\sqrt{2\pi r}} \frac{\rho}{2r} \cos\left(\frac{3\theta}{2}\right) + \frac{K_I}{4\sqrt{2\pi r}} (A_1 - \mu B_1) - \right. \\ & \left. - (1 + \mu) \left(\frac{2r}{\rho}\right)^{-1/2} D^{3/2} \sigma(1 + \varepsilon) \cos\left(\frac{\theta}{2}\right) - \sigma(1 - \varepsilon) \left( \left(\frac{1+m}{2m}\right)^2 + \mu \left(\frac{1-m}{2m}\right)^2 \right) \right), \\ \varepsilon_y = & \frac{1}{E} \left( \frac{D(1 + \mu)}{\sqrt{2\pi r}} \frac{\rho}{2r} K_I \cos\left(\frac{3\theta}{2}\right) + \frac{K_I}{4\sqrt{2\pi r}} (B_1 - \mu A_1) + \right. \\ & \left. + (1 + \mu) \left(\frac{2r}{\rho}\right)^{-1/2} D^{3/2} \sigma(1 + \varepsilon) \cos\left(\frac{\theta}{2}\right) + \sigma(1 - \varepsilon) \left( \left(\frac{1-m}{2m}\right)^2 + \mu \left(\frac{1+m}{2m}\right)^2 \right) \right), \\ \varepsilon_z = & \frac{2\mu}{E} \left( \frac{K_I}{\sqrt{2\pi r}} \cos\left(\frac{\theta}{2}\right) - \frac{\sigma(1 - \varepsilon)}{2m} \right), \quad \gamma_{xy} = \frac{\tau_{xy}}{G}. \end{aligned}$$

Здесь  $G = E/(2(1 + \mu))$  — модуль сдвига;  $E$  — модуль Юнга;  $\mu$  — коэффициент Пуассона.

**6. Определение коэффициента интенсивности напряжений для трещиноподобного дефекта методом голографической интерферометрии.** В [10] определено влияние радиуса кривизны  $\rho$  в вершине надреза и выполнен анализ погрешностей результатов вычисления  $K_I$  в пластине на основе формул, полученных в [1]. В [9] приведен обзор методов Ирвина, Брэдли — Кобаяши и Смита определения двухпараметрическим методом фотоупругости экспериментальных значений  $K_I$  при двухосном нагружении пластины с центральной трещиной по картинам изохром. В [11] методом голографической интерферометрии исследовано напряженное состояние, по формулам [1] вычислен коэффициент интенсивности напряжений  $K_I$  в пластине с трещиноподобным дефектом и приведено описание эксперимента. В соответствии с теорией Неймана и законом Гука, полагая деформации малыми, для тонких пластин имеем зависимость между номерами интерференционных полос на картинах абсолютных разностей хода (АРХ) и главными напряжениями  $\sigma_1, \sigma_2$  в виде соотношений Фавра [12]:

$$N_1 = a\sigma_1 + b\sigma_2, \quad N_2 = b\sigma_1 + a\sigma_2, \quad (6.1)$$

где  $N_1, N_2$  — номера полос на картинах АРХ при вертикальной и горизонтальной поляризациях опорного пучка соответственно;  $a = 0,625$  полос/МПа,  $b = 0,453$  полос/МПа — оптические постоянные материала ЭД-20МППФА. В [13] для упругого материала описана методика тарирования, обеспечивающая повышение точности определения постоянных  $a, b$  за счет использования всех наблюдаемых интерференционных полос и применения операции интерполирования при установлении номеров полос. Картины АРХ удобнее обрабатывать вдоль оси трещиноподобного дефекта при  $\theta = 0$  (наибольшее количество интерференционных полос). В случае  $\sigma_1 = \sigma_y, \sigma_2 = \sigma_x, \tau_{xy} = 0$  из соотношения (2.1) получаем

$$\sigma_{1,2} = \frac{K_I}{\sqrt{2\pi r_i}} \left( 1 \pm \left( D \frac{\rho}{2r_i} + \frac{2A-1}{4} \right) - \sigma \left( \frac{1-\varepsilon}{2m} \mp \left( (1+\varepsilon)D^{3/2} \left( \frac{\rho}{2r_i} \right)^{1/2} + (1-\varepsilon) \frac{H}{2} \right) \right) \right). \quad (6.2)$$

Различие экспериментальных и теоретических значений  $\sigma_1$  составляет приблизительно 6 %.

Ранее в расчетах использовались формулы для КИН для трещин. В данной работе получены формулы для КИН для эллиптического выреза в пластине, которые обобщают формулы для трещин. При  $m = 0,97$  отличие полученных значений КИН от КИН, вычисленных для случая линейного разреза (трещины), составляет более 10 %.

Подставляя выражения (6.2) в (6.1), получаем формулы для интерференционных полос с номерами  $N_{1i}$ :

$$N_{1i} = \frac{K_I}{\sqrt{2\pi r_i}} \left( (a+b) + (a-b)B \right) - \sigma \left( \frac{(1-\varepsilon)(a+b)}{2m} - (a-b)C \right). \quad (6.3)$$

Здесь

$$B = D \frac{\rho}{2r_i} + \frac{17m^2 - 2m - 15}{32m}, \quad C = (1+\varepsilon)D^{3/2} \left( \frac{\rho}{2r_i} \right)^{1/2} + (1-\varepsilon) \frac{H}{2}.$$

Из выражения (6.3) следуют соотношения

$$K_{Ii} = \sqrt{2\pi r_i} \frac{N_{1i} + \sigma \left( \frac{(1-\varepsilon)(a+b)}{2m} - (a-b)C \right)}{(a+b) + (a-b)B}. \quad (6.4)$$

С использованием полученных результатов по формуле (6.4) вычислено значение  $K_I^? = 25,89$  МПа·мм<sup>1/2</sup>, которое согласуется с расчетным значением  $K_I^P = 24,88$  МПа·мм<sup>1/2</sup>



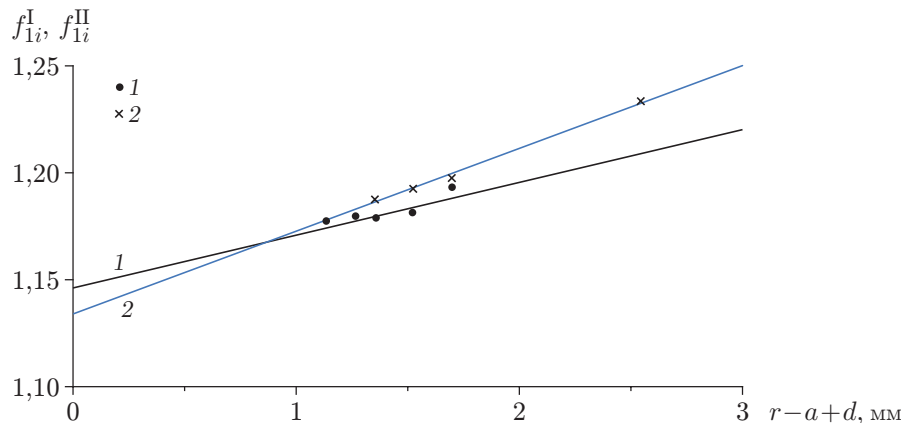


Рис. 4. Экстраполяция экспериментальных значений  $f_{1i}^I$  (1) и  $f_{1i}^{II}$  (2)

с погрешностью, равной 4 %. Как известно, при растяжении пластины конечных размеров с центральным трещиноподобным дефектом КИН равен [2, 5]

$$K_I = \sigma_H \sqrt{\pi l} f_1. \quad (6.5)$$

Здесь  $l$  — половина длины дефекта;  $f_1$  — поправочная функция, зависящая от геометрии образца и вида нагружения.

Приравнявая правые части выражений (6.4) и (6.5) и учитывая, что  $\sigma = \sigma_H$ , получаем выражения для поправочной функции  $f_{1i}$ , зависящие от  $N_{1i}$  и  $N_{2i}$ :

$$f_{1i}^I = \sqrt{\frac{2r_i}{l}} \frac{N_{1i} + \sigma_H((1-\varepsilon)(a+b)/(2m) - (a-b)C)}{\sigma_H((a+b) + (a-b)B)}; \quad (6.6)$$

$$f_{1i}^{II} = \sqrt{\frac{2r_i}{l}} \frac{N_{2i} + \sigma_H((1-\varepsilon)(a+b)/(2m) + (a-b)C)}{\sigma_H((a+b) - (a-b)B)}. \quad (6.7)$$

Проверка формул (1.4) для  $\sigma_y$  и (6.4) для КИН  $K_I$ , выражения (6.6) для поправочной функции  $f_{1i}^I$  и выражения (6.7) для  $f_{1i}^{II}$  выполнена методом голографической интерферометрии [11]. Эксперименты проводились для пластины шириной 100 мм и толщиной 3,83 мм с центральным эллиптическим отверстием длиной 30 мм и радиусом  $\rho = 0,15$  мм, подвергнутой одноосному нагружению ( $\varepsilon = 0$ ) при номинальном напряжении  $\sigma_H = 3,28$  МПа.

По картинам  $N_{1i}$  с помощью формулы (6.6) при вертикальной поляризации опорного пучка и по картинам  $N_{2i}$  с помощью формулы (6.7) при горизонтальной поляризации определены значения поправочных функций  $f_{1i}^I$  и  $f_{1i}^{II}$ . На рис. 4 значения  $f_{1i}^I$  и  $f_{1i}^{II}$  экстраполированы прямыми линиями.

Экспериментально полученные значения  $f_1^I = 1,15$ ,  $f_1^{II} = 1,14$  больше значения  $f_1 = 1,06$ , полученного по формуле Феддерсена [5]. Это обусловлено наличием регулярных членов в формулах (6.6), (6.7) вследствие учета второго члена в представлении Вильямса [3] компонент тензора напряжений [4, 5, 7].

Получены приближенные формулы для тензора напряжений, учитывающие кривизну дефекта, сингулярные и регулярные члены разложения, в то время как ранее учитывались только сингулярные члены. При оценке максимального главного напряжения в вершине дефекта, оказывающего существенное влияние на критерии разрушения, различие значений, полученных по формулам для трещины и эллипса, составляет более 50 %. На расстоянии от вершины дефекта, равном 10 радиусам кривизны, указанное выше различие вдоль большой оси дефекта составляет не менее 10 %.

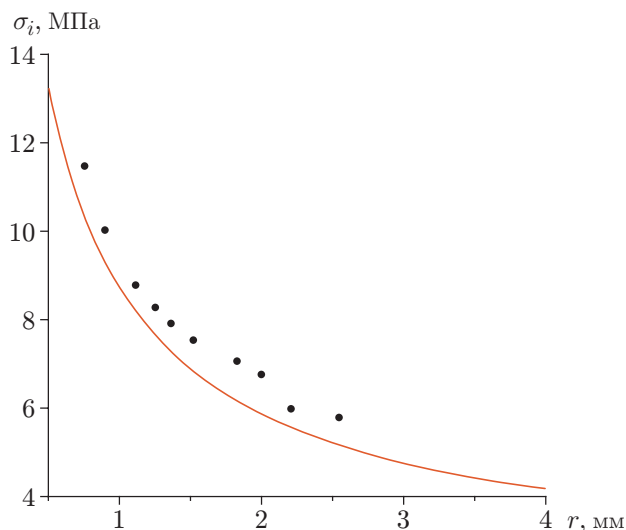


Рис. 5

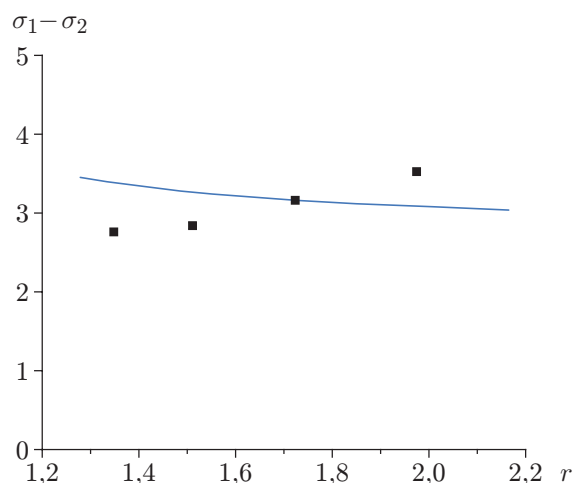


Рис. 6

Рис. 5. Экспериментальная (точки) и теоретическая (линия) зависимости интенсивности напряжений  $\sigma_i$  от расстояния от вершины дефекта

Рис. 6. Экспериментальная (точки) и теоретическая (линия) зависимости разности главных напряжений  $\sigma_1 - \sigma_2$  от расстояния от вершины дефекта

В случае если в формулах для напряжений отбрасываются регулярные члены, возможно появление ошибок при расчетах конструкций с трещиноподобными дефектами и их хрупкое разрушение.

С использованием формулы (6.1) для главных напряжений  $\sigma_1, \sigma_2$  получена формула для определения интенсивности напряжений  $\sigma_i$  по картинам АРХ [13]:

$$\sigma_i^2 = \frac{(a^2 + ab + b^2)N_1^2 - (a^2 - 4ab + b^2)N_1N_2 + (a^2 + ab + b^2)N_2^2}{(a^2 - b^2)^2}. \tag{6.8}$$

На рис. 5 приведены зависимости интенсивности напряжений  $\sigma_i$  от расстояния  $r$ , вычисленные по формуле (6.8) (точки) и формуле (2.2) (линия). Различие полученных значений составляет 10 %.

На рис. 6 представлены зависимости разности главных напряжений  $\sigma_1 - \sigma_2$  от расстояния  $r$ , вычисленные по формуле (1.7) (линия) и соотношениям (4.1) (точки).

Результаты теоретических исследований, проведенных в данной работе, согласуются с экспериментальными данными [14] для ферритно-перлитных сталей и моделью хрупкого разрушения [15].

В [16] с использованием точных формул проведено исследование влияния регулярных членов на напряженно-деформированное состояние ( $\sigma_1, \sigma_i$  и КИН) при двухосном нагружении пластины с наклонным эллиптическим вырезом.

**Заключение.** В работе получены формулы для компонент тензора напряжений, главных напряжений, интенсивности напряжений, максимального касательного напряжения, суммы и разности главных напряжений с регулярными членами для трещиноподобного дефекта с радиусом кривизны  $\rho$  при двухосном растяжении пластины.

Методом голографической интерферометрии получены экспериментальные значения интенсивности напряжений  $\sigma_i$  и разности напряжений  $\sigma_y - \sigma_x$  и коэффициентов для поправочных функций, используемых для вычисления КИН.

В случае центрального эллиптического отверстия с радиусом кривизны  $\rho = 0,15$  мм экспериментальные значения  $\sigma_1$ , определенные методом голографической интерферометрии, согласуются с расчетными значениями с погрешностью, равной 6 %, значения интенсивности напряжений  $\sigma_i$  — с погрешностью 10 %, значения  $K_I$  — с погрешностью 4 %.

#### ЛИТЕРАТУРА

1. **Creager M., Paris P.** Elastic field equations for blunt cracks with reference to stress corrosion cracking // Intern. J. Fracture Mech. 1967. V. 4, N 3. P. 247–252.
2. **Панасюк В. В.** Механика квазихрупкого разрушения. Киев: Наук. думка, 1991.
3. **Williams M. L.** On the stress distribution at the base of a stationary crack // J. Appl. Mech. 1957. V. 24, N 1. P. 109–114.
4. **Eftis J., Subramonian N., Liebowitz H.** Crack border stress and displacement equations revisited // Engng Fracture Mech. 1977. V. 9, N 1. P. 189–210.
5. **Красовский А. Я.** Хрупкость металлов при низких температурах. Киев: Наук. думка, 1980.
6. **Мусхелишвили Н. И.** Некоторые основные задачи математической теории упругости. М.: Наука, 1966.
7. **Остсемин А. А., Уткин П. Б.** Теоретические и экспериментальные исследования по механике разрушения трещиноподобных дефектов при двухосном нагружении // Изв. РАН. Механика твердого тела. 2009. № 2. С. 130–142.
8. **Остсемин А. А., Уткин П. Б.** Применение критериев упругопластической механики разрушения при оценке свойств сварных соединений // Вопр. материаловедения. 2007. № 3. С. 151–160.
9. **Etheridge J. M., Dalley J. W.** A critical review of methods for determining stress-intensity factors from isochromatic fringes // Exp. Mech. 1977. V. 17, N 7. P. 248–254.
10. **Doyle J. F., Kamle S., Takezaku J.** Error analysis of photoelasticity in fracture mechanics // Exp. Mech. 1981. V. 21, N 11. P. 429–435.
11. **Остсемин А. А.** Определение напряженного состояния и коэффициентов интенсивности напряжений трещиноподобных дефектов методом голографической интерферометрии // Вестн. машиностроения. 2009. № 8. С. 13–19.
12. **Александров А. Я.** Поляризационно-оптические методы механики деформируемого тела / А. Я. Александров, М. Х. Ахметзянов. М.: Наука, 1973.
13. **Остсемин А. А., Денискин С. А., Ситников Л. Л. и др.** Определение напряженного состояния тел с дефектами методом голографической фотоупругости // Пробл. прочности. 1982. № 10. С. 77–81.
14. **Malkin J., Tetelman A. S.** Relation between  $K_{Ic}$  and microscopic strength for low alloy steels // Engng Fracture Mech. 1971. V. 3, N 2. P. 151–167.
15. **Ritche R. O., Knott G. F., Rice J. R.** On the relation between critical tensile stress and fracture toughness in mild steel // J. Mech. Phys. Solids. 1973. V. 21, N 6. P. 395–410.
16. **Остсемин А. А., Уткин П. Б.** Напряженно-деформированное состояние наклонного эллиптического дефекта в пластине при ее двухосном нагружении // ПМТФ. 2012. Т. 53, № 2. С. 115–127.

*Поступила в редакцию 18/III 2013 г.,  
в окончательном варианте — 28/XII 2013 г.*